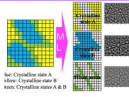





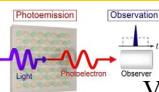
### 粒界調査のためのステンレス鋼のEBSD菊池パターンの教師なし学習法による分類

 S. Aoyagi *et al.*, Classification of EBSD Kikuchi Patterns for Stainless Steel by Unsupervised Learning Methods to Investigate Grain Boundaries  
Vol. 21, Iss. 3, pp. 128-131 (2023) (Superexpress Letter)

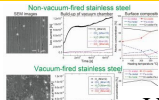
### Si(111)基板上InGaSb薄膜の成長に及ぼすInGaSbバイレイヤーのIn原子とGa原子の組成比の影響

 M. Mori *et al.*, Influence of Composition Ratio of In and Ga Atoms of InGaSb Bi-layer on Growth of InGaSb Thin Films on Si(111) Substrate  
Vol. 21, Iss. 3, pp. 132-138 (2023) (Regular Paper)

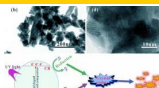
### 光電子の波動関数と光電子放出過程におけるその収縮

 H. Tanaka, Wave Function of a Photoelectron and Its Collapse in the Photoemission Process  
Vol. 21, Iss. 3, pp. 139-143 (2023) (Regular Paper)

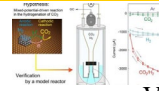
### ステンレス鋼の真空焼成効果の真空・表面からの評価

 J. Kamiya *et al.*, Evaluation of Vacuum Firing Effect on Stainless Steel from Vacuum and Surface Point of View  
Vol. 21, Iss. 3, pp. 144-153 (2023) (Regular Paper)

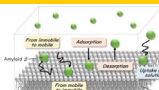
### レアメタルのドーピングによるBaSn系複合材料の光触媒性能の向上

 Z. Sun *et al.*, Enhancing the Photocatalytic Performance of BaSn-based Composites by Doping Rare Metals  
Vol. 21, Iss. 3, pp. 154-163 (2023) (Regular Paper)

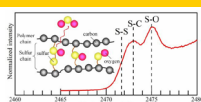
### 混合電位駆動型触媒反応の実験的検証

 K. Takeyasu *et al.*, Experimental Verification of Mixed-potential-driven Catalysis  
Vol. 21, Iss. 3, pp. 164-168 (2023) (Regular Paper)

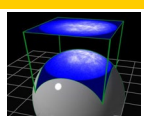
### アミロイドβの脂質膜への吸着、凝集、および拡散挙動について

 A. Iida-Adachi and H. Nabika, Adsorption, Aggregation, and Diffusion Behavior of Amyloid β on the Lipid Membrane  
Vol. 21, Iss. 3, pp. 169-173 (2023) (Regular Paper)

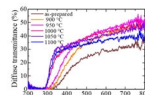
### 硫黄K吸収端NEXAFSを用いたゴム材料の分析法とその応用

 K. Shirode *et al.*, Analytical Method for Rubber Materials Using Sulfur K-edge NEXAFS and Its Application  
Vol. 21, Iss. 3, pp. 174-182 (2023) (Regular Paper)

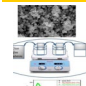
### 光電子ホログラフィー用阻止電場アナライザーの感度分布補正のためのアルゴリズム

 T. Matsushita *et al.*, An Algorithm to Correct the Sensitivity Distribution of a Retarding Field Analyzer for Photoelectron Holography  
Vol. 21, Iss. 3, pp. 183-187 (2023) (Regular Paper)

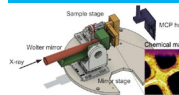
### 異なる温度でアニールされたGa<sub>2</sub>O<sub>3</sub>半透明セラミックスのシンチレーション特性

 T. Kunitaka *et al.*, Scintillation Properties of Ga<sub>2</sub>O<sub>3</sub> Translucent Ceramics Annealed at Different Temperatures  
Vol. 21, Iss. 3, pp. 188-192 (2023) (Regular Paper)

### 改良SILAR法で作製したZnO薄膜の構造、光学特性、NO<sub>2</sub>センシング特性に及ぼすMgドーピングの影響

 N. T. Abood *et al.*, Effect of Mg Doping on the Structural, Optical and NO<sub>2</sub>-sensing Properties of ZnO Thin Films Prepared by Modified SILAR Method  
Vol. 21, Iss. 3, pp. 193-199 (2023) (Regular Paper)

### ナノ集光鏡を用いた軟X線分光用簡易走査型プローブシステムの開発

 H. Ando *et al.*, Developing a Simple Scanning Probe System for Soft X-ray Spectroscopy with a Nano-focusing Mirror  
Vol. 21, Iss. 3, pp. 200-206 (2023) (Technical Note)

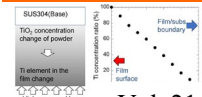
### HAXPESによるジアルキルジチオリン酸亜鉛およびジアルキルジチオカルバミン酸モリブデンによる金属表面反応膜の化学状態に関する研究

Y. Iwanami *et al.*, HAXPES Study on Chemical States of Reaction Films Formed on Metal Surfaces by Zinc Dialkyl-dithiophosphate and Molybdenum Dialkyl-dithiocarbamate  
Vol. 21, Iss. 3, pp. 207-210 (2023) (Proceeding Paper)

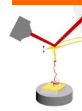
### RHEEDの菊池パターンへの表面プラズモンの影響

 Y. Shigeta *et al.*, Influence of Surface Plasmon on Kikuchi Pattern in RHEED  
Vol. 21, Iss. 3, pp. 211-217 (2023) (Proceeding Paper)

### 混合粉末ターゲットを用いたスパッタリングによるTiおよびFe組成傾斜薄膜の作製

 T. Sakata *et al.*, Preparation of Ti and Fe Composition Gradient Thin Films by Sputtering with Mixed Powder Targets  
Vol. 21, Iss. 3, pp. 218-223 (2023) (Proceeding Paper)

### ハイチップカンチレバーを用いたAFMによる高分子鎖の粘弾性測定への熱雑音解析の応用

 M. Mori *et al.*, Application of Thermal Noise Analysis to Viscoelasticity Measurements of Single Polymer Chains using AFM with High-Tip Cantilever  
Vol. 21, Iss. 3, pp. 224-230 (2023) (Proceeding Paper)

### 徹底検索解析により得られたモデルの自動収集・可視化とMoO<sub>3</sub> EXAFS解析への応用

 D. Kido *et al.*, Automatic Collection and Visualization of the Models Given by Thorough Search Analysis and Its Application to the MoO<sub>3</sub> EXAFS Analysis  
Vol. 21, Iss. 3, pp. 231-235 (2023) (Proceeding Paper)

### Au(110)上のペリレンへの正孔ドーピング：光電子運動量顕微鏡法

 O. Endo *et al.*, Hole Doping to Perylene on Au(110): Photoelectron Momentum Microscopy  
Vol. 21, Iss. 3, pp. 236-240 (2023) (Proceeding Paper)